

Stabilité des pentes et des talus

I. Classification des mouvements de terrain

1) Pentes naturelles :

On distingue :

- ✓ Les écoulements ;
- ✓ Les glissements : plans , rotationnels simples, rotationnels complexes ;
- ✓ Fluages et solifluxions
- ✓ Coulées boueuses

2) Talus artificiels

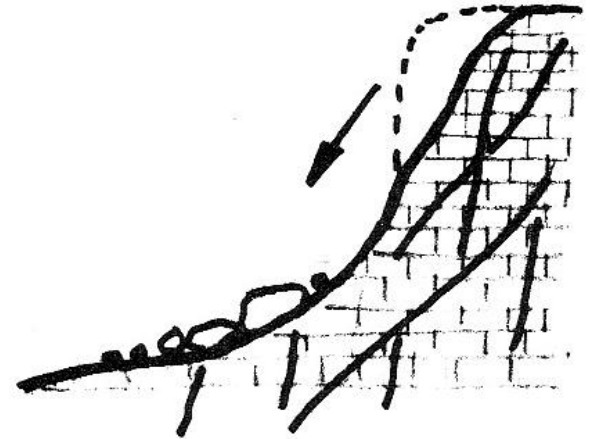
Ils sont affecté principalement par les glissements et parfois par les phénomène de fluage, selon le type d'ouvrage on distingue :

- ✓ Les talus en déblai;
- ✓ Les talus en remblai sur sol non compressible;
- ✓ Les talus en remblai sur sol compressible;
- ✓ Les ouvrages de soutènement vis-à-vis d'un glissement profond;

II. Description des principaux types de mouvements

1) Les écroulements et chutes de pierres

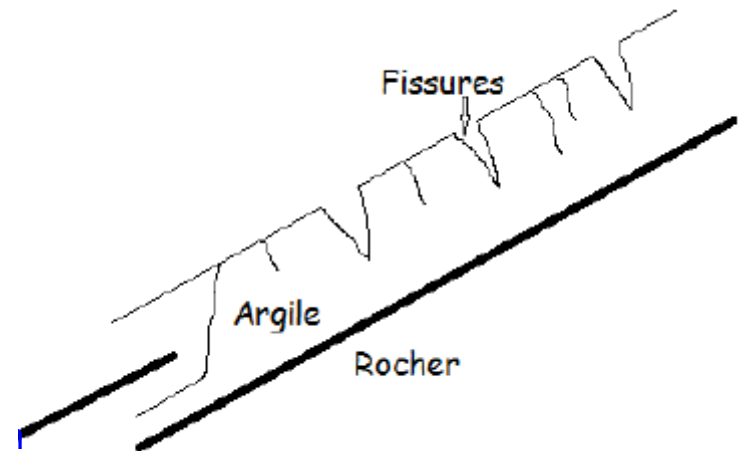
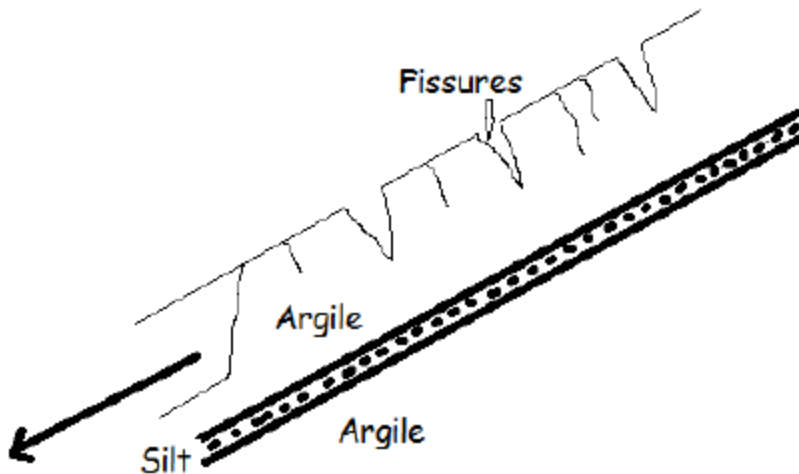
Ils concernent principalement les masses rocheuses , et sont dangereux car soudains



2) Les glissements

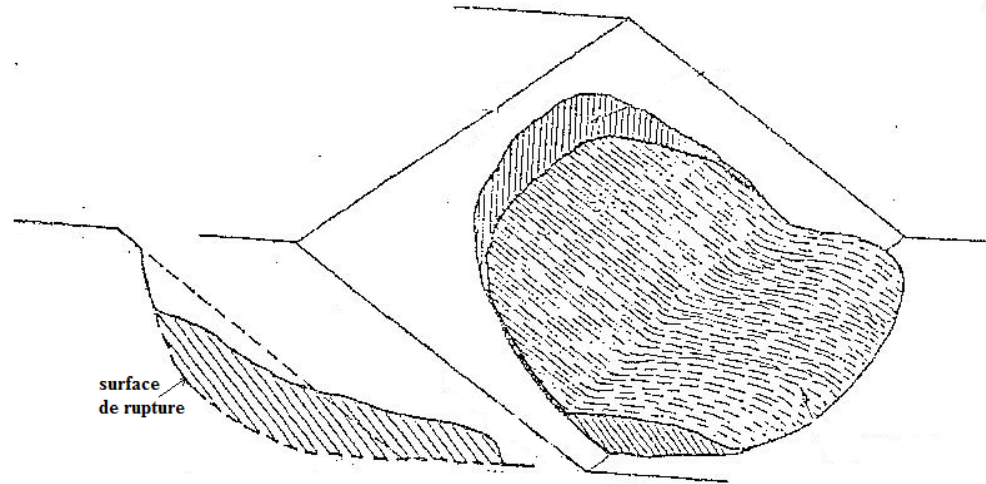
a) Glissement plan

En général la ligne de rupture suit une couche mince ayant de mauvaises caractéristiques mécaniques, et sur laquelle s'exerce souvent l'action de l'eau. On l'appelle « couche savon »



b) Glissement rotationnel simple

C'est le type de glissement le plus fréquent. La surface de rupture a une forme simple et peut être assimilée à une portion de cylindre .

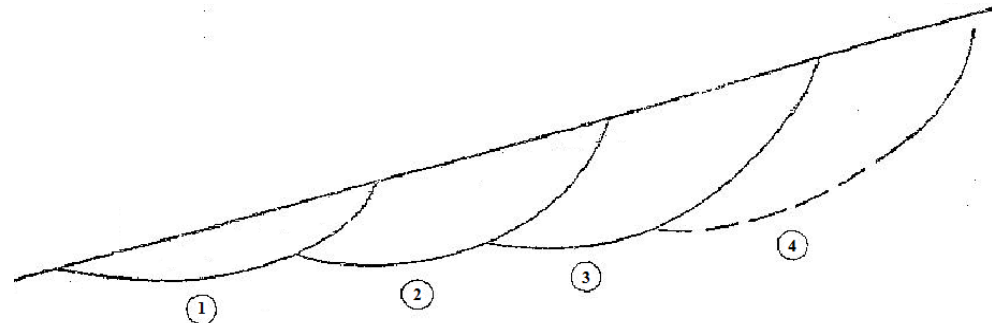


Le plus souvent la ligne de rupture est assimilée à un cercle : glissement circulaire. Si la ligne de rupture a une forme plus complexe le glissement est dit non circulaire

c) Glissement rotationnel complexe

Il s'agit de glissements multiples emboîtés les uns dans les autres .

L'apparition du premier glissement , en bas de la pente conduit à une perte de butée pour les terres situées au dessus et provoque ainsi les glissement successifs

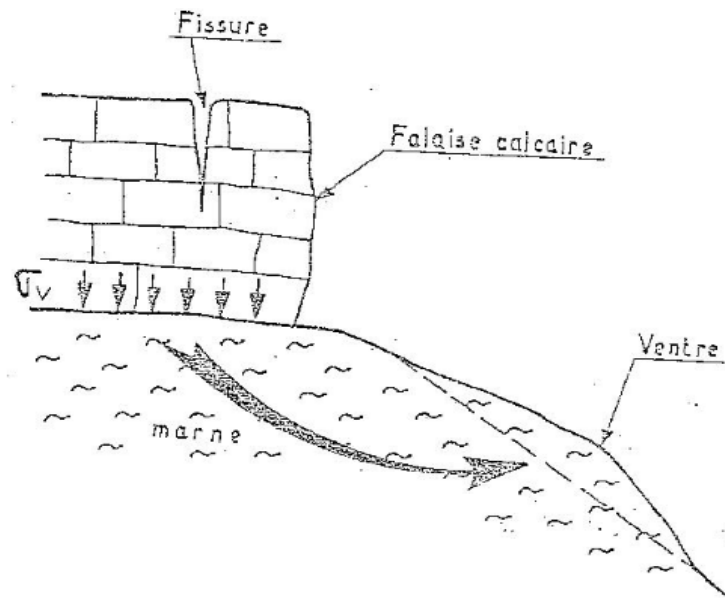


3) Fluage et solifluxion

a) Le fluage

Le phénomène de fluage correspond à des mouvements lents dus à des sollicitations proches de la rupture. L'état ultime peut être soit la stabilisation soit la rupture .

Sur la figure suivante la couche de marne flue sous l'effet du poids du massif de calcaire et entraine ainsi la fissuration de la falaise ou même sa rupture



b) La solifluxion

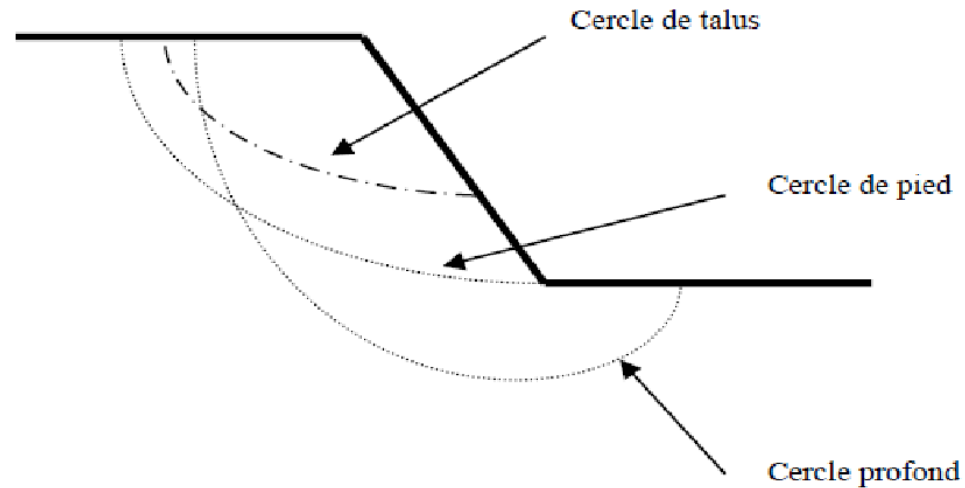
C'est un cas particulier du fluage . C'est un phénomène superficiel provoqué par les variations volumiques du sol à cause du gel et dégel .

4) Les coulées boueuses

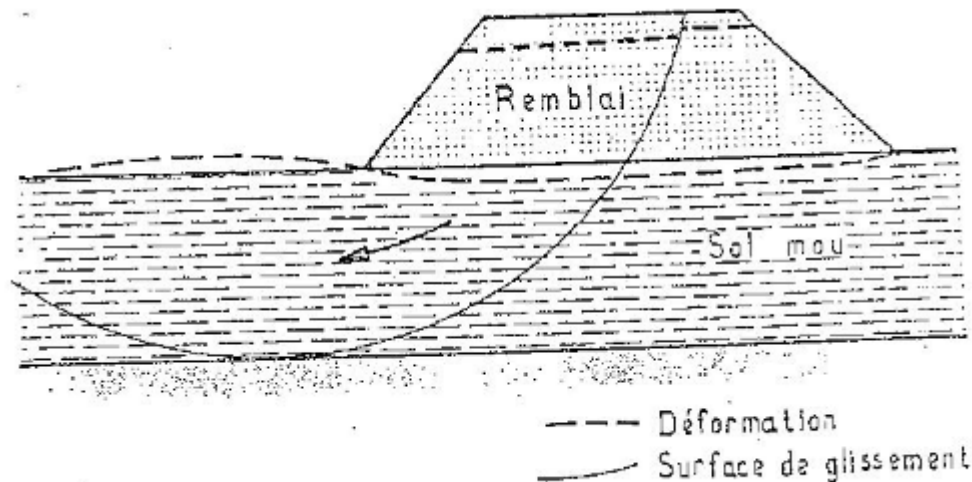
Les coulées boueuses sont dues à des infiltrations d'eau provoquant des mouvements de sols dans lesquels les matières glissées se comportent comme un liquide.



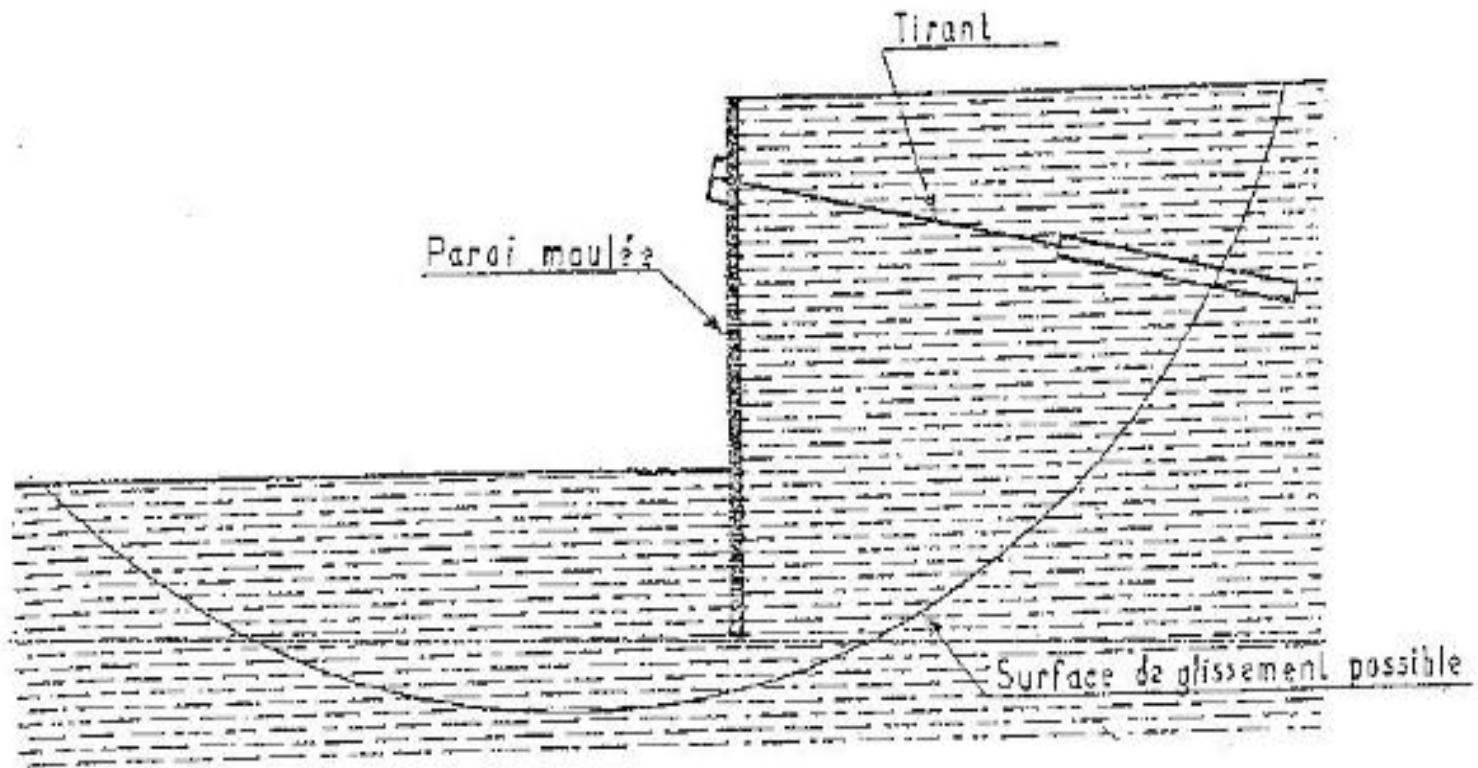
5) Talus en déblai et talus en remblai sur sols non compressible



6) Talus en remblai sur sols compressible



7) Les ouvrages de soutènement



III. Stabilité des pentes en rupture plane

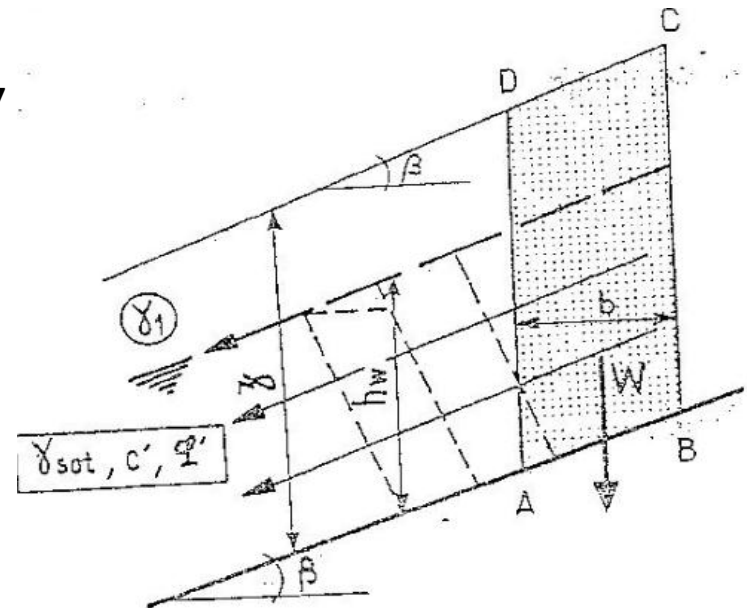
Dans le cas de certains versants naturels, une couche ou une interface peuvent guider le glissement (par exemple formations meubles reposant sur un substratum) : la surface de rupture est alors à peu près plane.

1) Pente indéfinie, rupture selon un plan parallèle à la pente

a) Décomposition des forces :

Soit une pente indéfinie d'inclinaison β dans un sol de caractéristiques suivantes :

- ✓ Poids volumique : au dessus de la nappe : γ_1 ; au dessous de la nappe : γ_{sat}
- ✓ Cohésion le long du plan de glissement : c'
- ✓ Angle de frottement interne le long du plan de glissement φ'
- ✓ La nappe règne à une hauteur h_w et s'écoule parallèlement à la pente



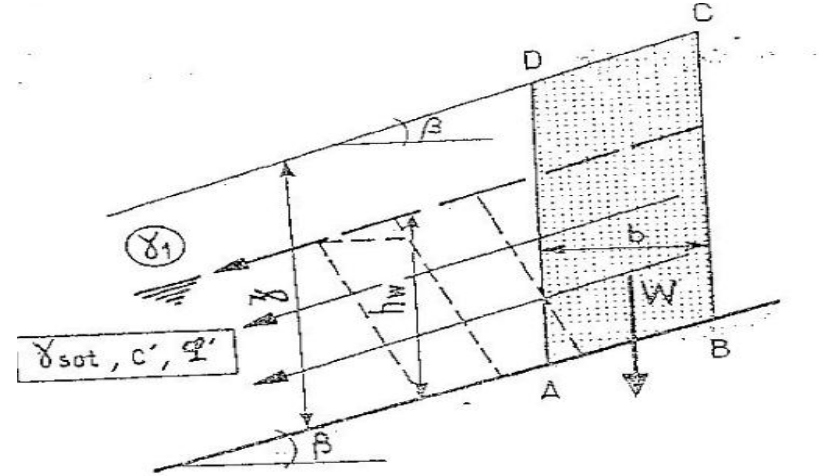
On considère le prisme ABCD , soit W son poids et b sa largeur

$$\Rightarrow \text{On a } W = [\gamma_1(z - h_w) + \gamma_{sat} \cdot h_w]b = b \cdot \sum_0^z \gamma \cdot h$$

\Rightarrow Par symétrie les réactions sur AD et BC sont égales et opposées

La décomposition de W en des composantes normale N et tangentiels T à la surface de glissement AB donne :

$$N = b \cos \beta \sum_0^z \gamma \cdot h \quad \text{et} \quad T = b \sin \beta \sum_0^z \gamma \cdot h$$



La pression interstitielle le long de AB est : $u = \gamma_w \cdot h_w \cos^2 \beta$

la résultante U des pressions interstitielles est normale à AB $U = u \cdot AB$

$$U = \gamma_w \cdot h_w \cdot b \cos \beta$$

D'après l'équation de Coulomb, la résistance maximale mobilisable en cisaillement le long de AB est :

$$R = c' \cdot AB + (N - U) \tan \varphi'$$

$$R = c' \cdot \frac{b}{\cos \beta} + \left(\sum_0^z \gamma \cdot h - \gamma_w \cdot h_w \right) b \cdot \cos \beta \cdot \tan \varphi'$$

b) Coefficient de sécurité global :

Le coefficient de sécurité global de la rupture le long du plan situé à la profondeur z est donnée par la formule suivante :

$$F_s = \frac{R}{T} = \frac{c' + (\sum_0^z \gamma \cdot h - \gamma_w \cdot h_w) \cos^2 \beta \cdot \tan \varphi'}{\cos \beta \sin \beta \sum_0^z \gamma \cdot h}$$

Remarques :

1) F_s diminue lorsque h_w augmente . Ceci explique que les glissements de terrain se produisent essentiellement en période pluvieuse.

2) S'il n y a pas de nappe et le sol est homogène :

$$F_s = \frac{c + \gamma \cdot z \cos^2 \beta \cdot \tan \varphi}{\gamma \cdot z \cos \beta \sin \beta}$$

En milieu homogène cohérent F_s diminue lorsque z augmente . La rupture plane correspond donc au glissement du manteau d'altération sur les couches profondes intactes.

3) En plus si le sol est non cohésif :

$$F_s = \frac{\tan \varphi}{\tan \beta}$$

2) Pente de hauteur finie :

Soit le talus suivant qui menace de glisser sur couche savon de pente β

Étudions l'équilibre du volume de sol compris entre le plan amont AD et le plan aval BC.

Les forces qui provoquent le mouvement sont :

- ✓ la composante P'_a selon la direction AB
- ✓ La composante selon la direction AB du poids des terres W

$$T = W \sin \beta$$

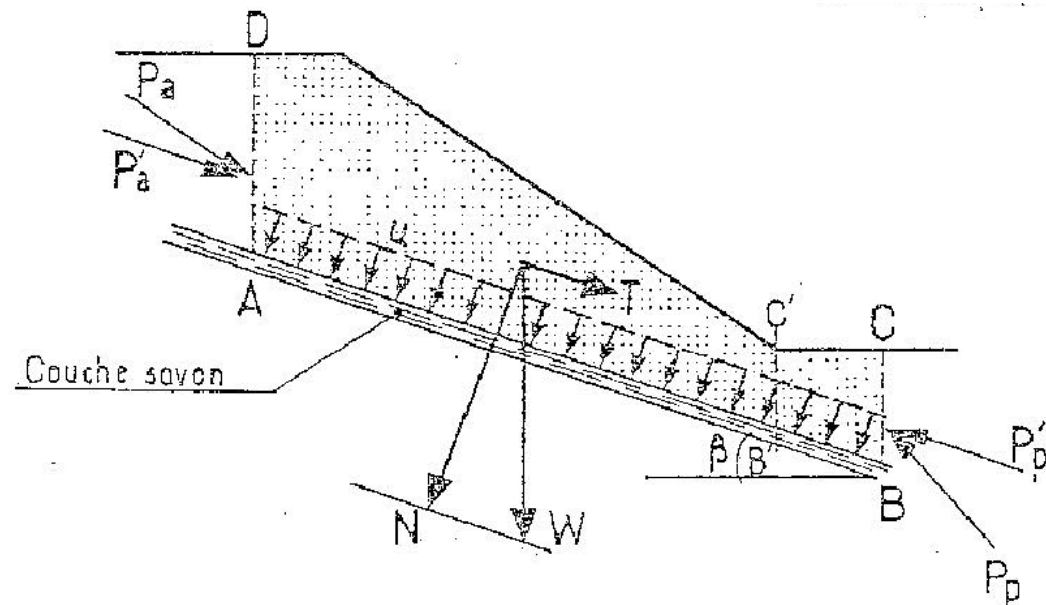
Les forces résistantes sont :

- ✓ la composante P'_p selon la direction AB de la réaction du sol à l'aval (butée)
- ✓ La résistance au cisaillement le long de AB qui est égale à :

$$R = c'.AB + (W \cos \beta - U) \tan \varphi'$$

Avec $U = \int_A^B u. dt$

c' et φ' les caractéristiques
effectives de la couche savon



Le coefficient de sécurité global est donc :

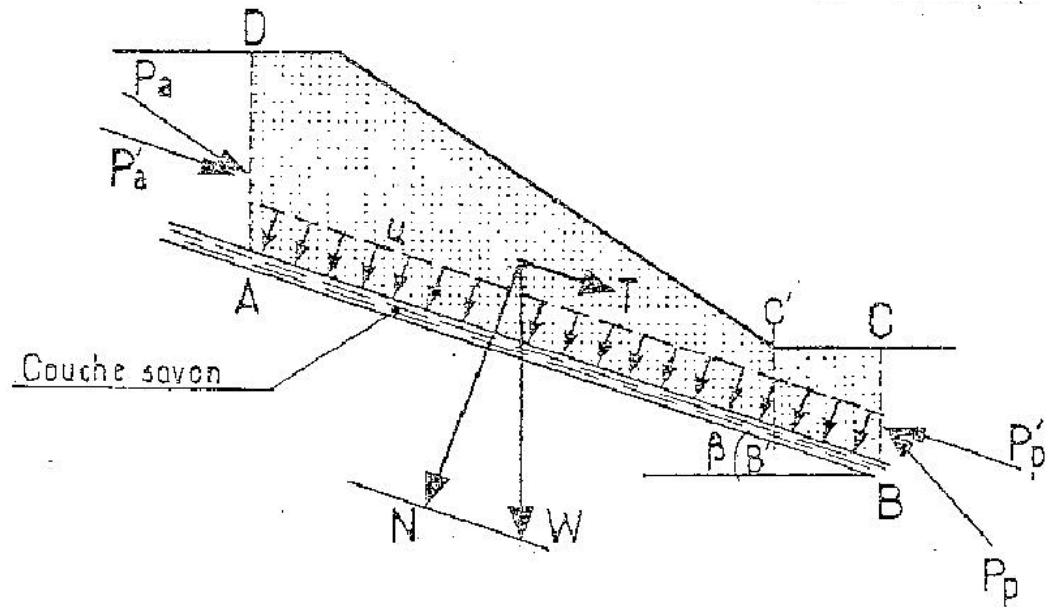
$$F_s = \frac{R + P'_p}{p'_a + T}$$

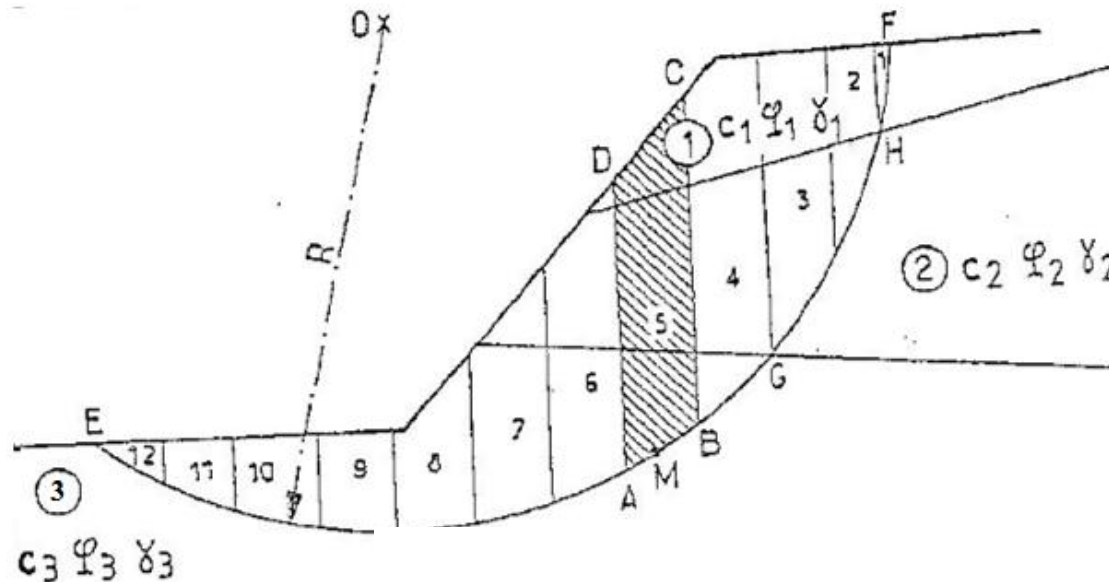
Remarque :

La position des plans AD et BC est choisie de manière à donner la valeur minimale de F_s .

La position la plus défavorable pour BC est généralement le pieds du talus.

La détermination de P_a et P_p se fera dans le chapitre « action des terres sur les soutènement »



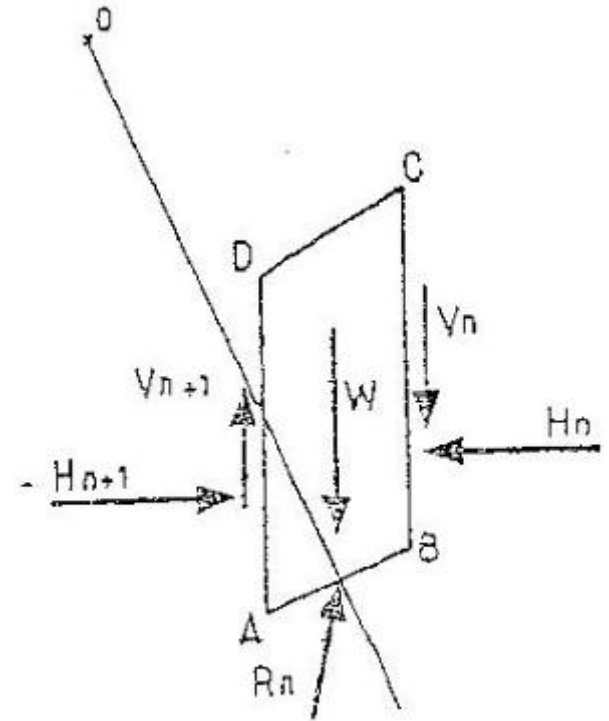


Étudions l'équilibre de la tranche ABCD . Les forces agissant sur cette tranche :

- Le poids W_n
- La réaction R_n du milieu sous-jacent sur l'arc AB
- Les réactions sur les faces verticales BC et AD .

Le coefficient global de sécurité global F_s est défini par le quotient :

$$F_s = \frac{\sum_{EF} \text{des moments résistants maximaux}}{\sum_{EF} \text{des moments moteurs}}$$



- **Hypothèse spécifique :** Les efforts inter-tranches sont ignorés

Donc $W = -R$

Largeur de tranche pas trop grande \Rightarrow l'arc AB peut être confondu avec la corde

D'après la loi de Coulomb : $R_t = c_i \cdot AB + W_n \cdot \cos \alpha_n \cdot \tan \varphi_i$

La somme des moments pour toutes les tranches est :

$$\sum_{n=1}^{n=m} R \times (c_i \cdot l_n + W_n \cdot \cos \alpha_n \cdot \tan \varphi_i)$$

m: nombre total des tranches

c_i et φ_i caractéristiques mécaniques de la couche dans laquelle est située AB.

Le moment moteur est dû au poids et égale à : $W_n a_n$

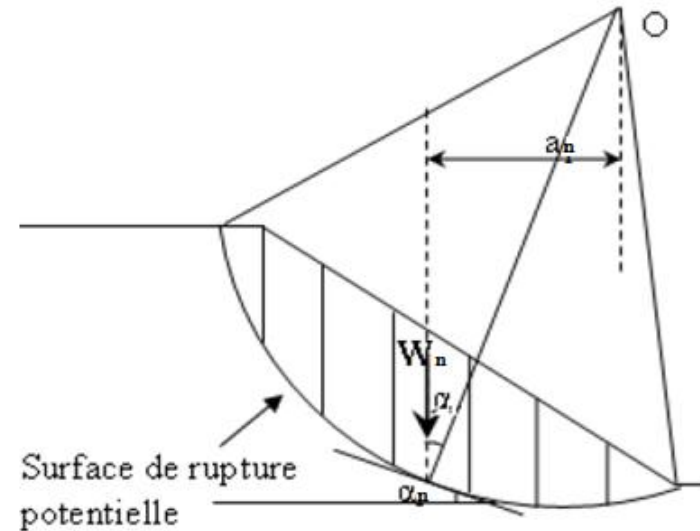
a_n : bras de levier , $a_n = R \times \sin \alpha_n$

α_n : l'angle que fait le rayon du cercle passant par le milieu de la base de la tranche avec la verticale

l_n : longueur de la base de la tranche

D'où

$$F_s = \frac{\sum_{n=1}^{n=m} (c_i \cdot l_n + W_n \cdot \cos \alpha_n \cdot \tan \varphi_i)}{\sum_{n=1}^{n=m} W_n \sin \alpha_n}$$

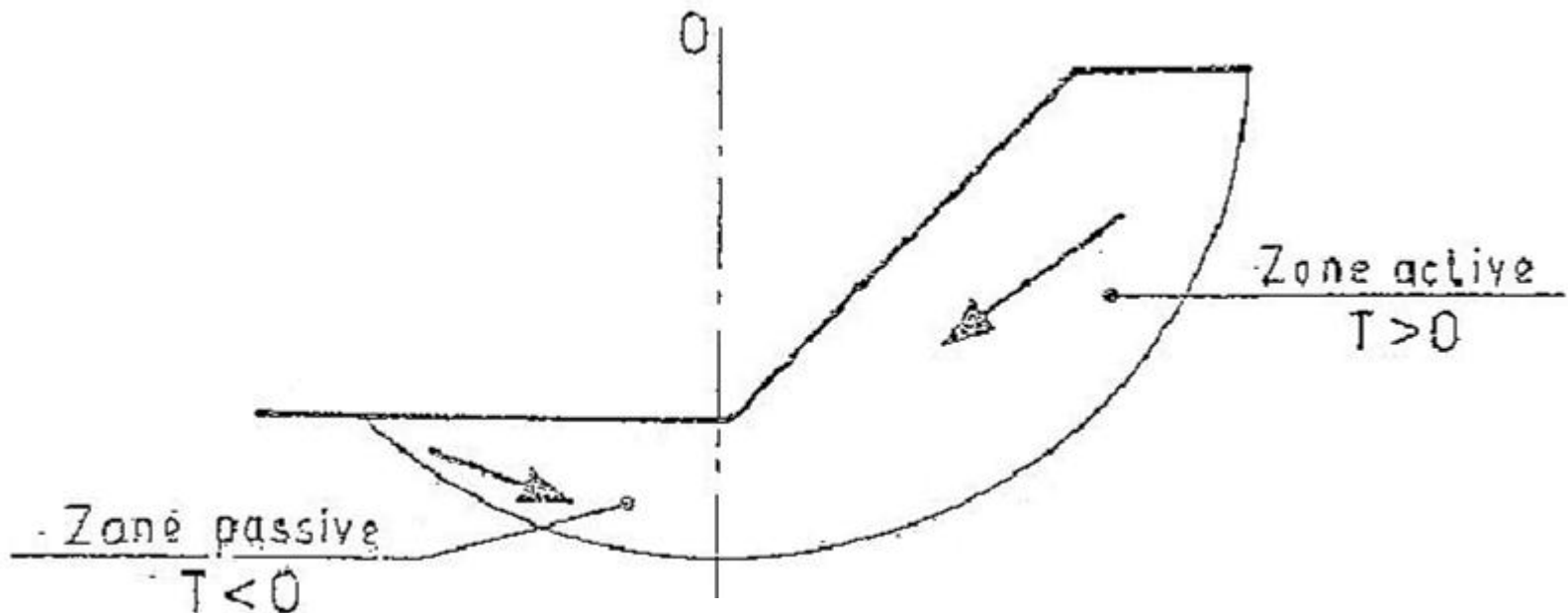


Remarque :

- 1) Si le sol est homogène , $c = cte$ et $\varphi = cte$ et L est la longueur développée de la surface de rupture F_s devient :

$$F_s = \frac{c.L + \tan\varphi \sum W_n \cos\alpha_n}{\sum W_n \sin\alpha_n}$$

- 2) Lorsque les cercles sont profonds, c.à.d. Lorsque la ligne de rupture dépasse l'aplomb du centre du cercle vers le côté aval. La massif du sol situé côté aval a un effet stabilisateur .

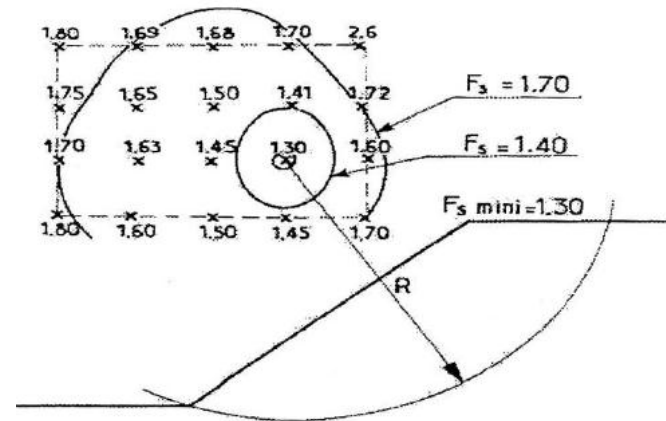


3) Le facteur de sécurité peut être affecté aux caractéristiques mécaniques c et φ

$$c_i^* = \frac{c_i}{F_s} \quad \text{et} \quad \varphi_i^* = \frac{\varphi_i}{F_s}$$

4) Pour déterminer le coefficient de sécurité réel d'un talus il faut chercher le cercle donnant la valeur minimale de F_s . Dans le cas général il y a une triple infinité de possibilité :

- ✓ pour un centre donnée, il est possible de faire varier le rayon du cercle.
- ✓ La position du centre peut varier dans le sens horizontal
- ✓ La position du centre peut varier dans le sens vertical



5) Prise en compte des nappes

La méthode des tranches est appliquée en utilisant l'équation de Coulomb :

$$\tau = c' + (\sigma - u) \tan \varphi'$$

2) Méthode des tranches de BISHOP

1) Méthode détaillée :

Les composante V_n , V_{n+1} , H_n , H_{n+1} des réactions sur les tranches verticales interviennent dans les efforts appliqués sur AB.

Le coefficient de sécurité est donné par la formule générale suivante :

$$F_s = \frac{1}{\sum_{n=1}^{n=m} W_n \sin \alpha_n} \cdot \sum_{n=1}^{n=m} \frac{(W_n + (V_n - V_{n+1}) - u_n \cdot l_n) \tan \varphi'_n + c'_n \cdot l_n}{\cos \alpha_n + \sin \alpha_n \cdot \frac{\tan \varphi'_n}{F_s}}$$

Pour déterminer F_s , il faut :

- ✓ Procéder par itérations successives, puisque F_s figure aux deux membres de l'équation.
- ✓ Définir $V_n - V_{n+1}$, pour cela une hypothèse supplémentaire est nécessaire.

2) Méthode de BISHOP simplifiée :

L'hypothèse supplémentaire est que $V_n - V_{n+1} = 0$, quelle que soit la tranche considérée F_s devient :

$$F_s = \frac{1}{\sum_{i=1}^{i=m} W_i \sin \alpha_i} \cdot \sum_{i=1}^{i=m} \frac{(W_i - u_i \cdot l_i) \tan \varphi'_i + c'_i \cdot l_i}{\cos \alpha_i + \sin \alpha_i \cdot \frac{\tan \varphi'_i}{F_s}}$$

Tous les termes sont connus et F_s est calculé par itérations successives. La première itération est faite en adoptant comme valeur F_{s0} le coefficient de sécurité obtenu par la méthode de FELLENIUS.

3) Choix de la méthode et du coefficient de sécurité :

- ✓ La méthode de Fellenius donne généralement des coefficients de sécurité plus faibles que la méthode de Bishop .
- ✓ La méthode de Bishop simplifiée est couramment utilisée , et celle détaillée ne présente que peu d'intérêt devant les incertitudes liées aux autres paramètres
- ✓ l'expérience a montré , que sauf erreur grossière sur les hypothèses de calcul :
 - ⇒ Les talus restent toujours stables si $F_s > 1,5$
 - ⇒ Le glissement est pratiquement inévitable si $F_s < 1$

IV. Abaques et formules:

Ils existent plusieurs abaques et formules concernant les pentes et talus présentant selon les simplifications que peut présenté le cas étudié (géométrie simple, homogénéité , nombre de couche réduit)

1) Talus dans un sol pulvérulent:

a) sans écoulement :

Dans un sol pulvérulent d'angle de frottement φ . La pente maximale d'un talus est : $\beta = \varphi$ (\forall la hauteur du talus)

L'angle de talus naturel : l'angle que prend le talus lorsque le sol pulvérulent est déversé en tas.

Remarque:

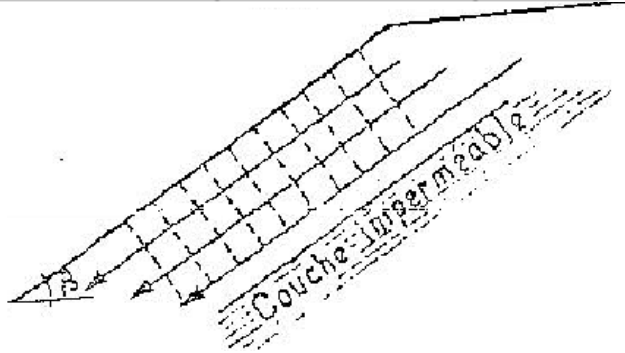
Dans les sables humides il y a toujours une certaine cohésion capillaire permettant au talus de tenir à des pentes très raides voire verticales. Cependant le coefficient de sécurité est très faible et une faible perturbation peut causer la rupture.

b) avec écoulement :

On rencontre souvent des réseaux d'écoulement qui peuvent être ramenés à des cas simples :

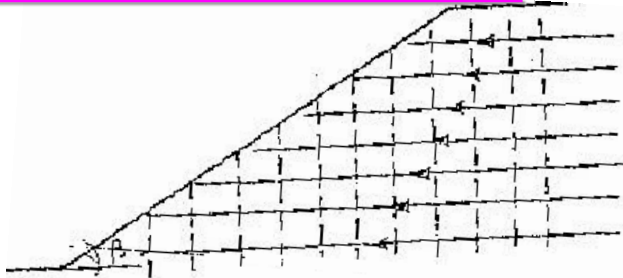
Soit β_{lim} l'angle d'équilibre limite (qui correspond à $F_s = 1$)

Cas 1 : écoulement parallèle à la pente :



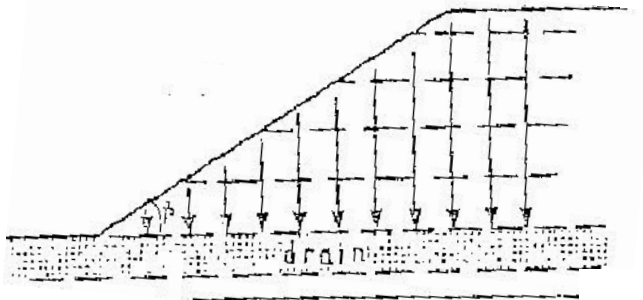
$$\tan \beta_{lim} = \frac{1}{2} \tan \varphi'$$

Cas 1 : écoulement horizontal :

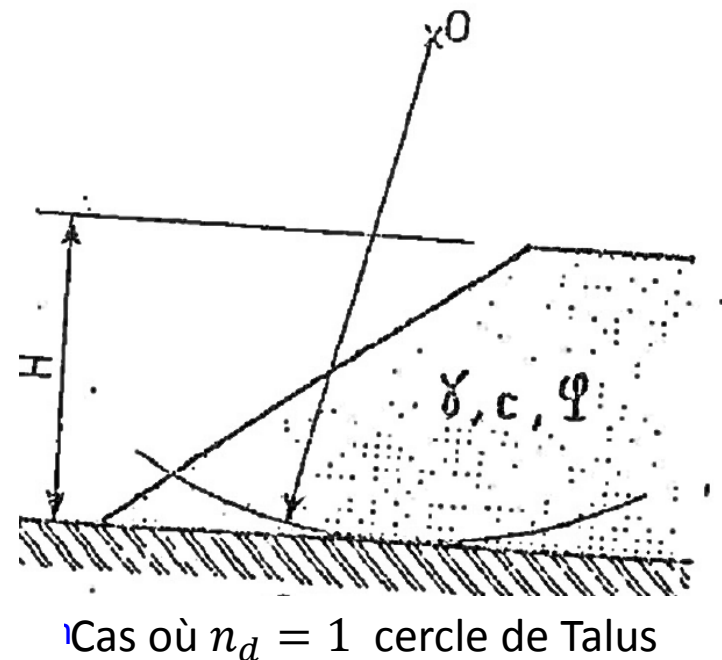


$$\beta_{lim} = \frac{1}{2} \varphi'$$

Cas 1 : écoulement vertical descendant :



$$\beta_{lim} = \varphi'$$



Le coefficient de sécurité est alors donné par la relation :

$$F_s = \frac{c.L}{\sum T} \text{ avec } L: \text{ longueur totale de l'arc AB}$$

Or L est proportionnel à H

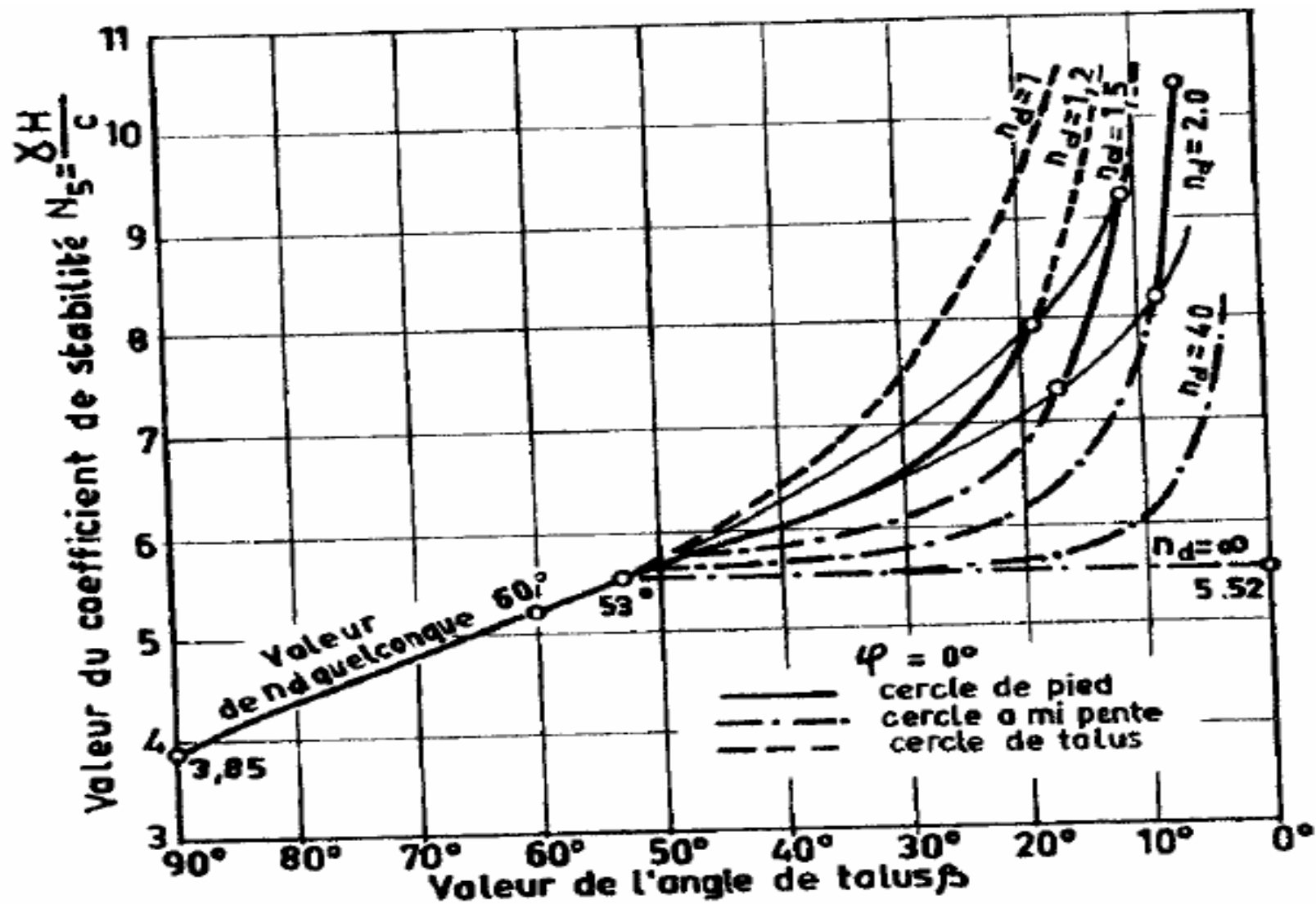
T est proportionnel à W donc à γ et à H^2 (H et B) . Donc :

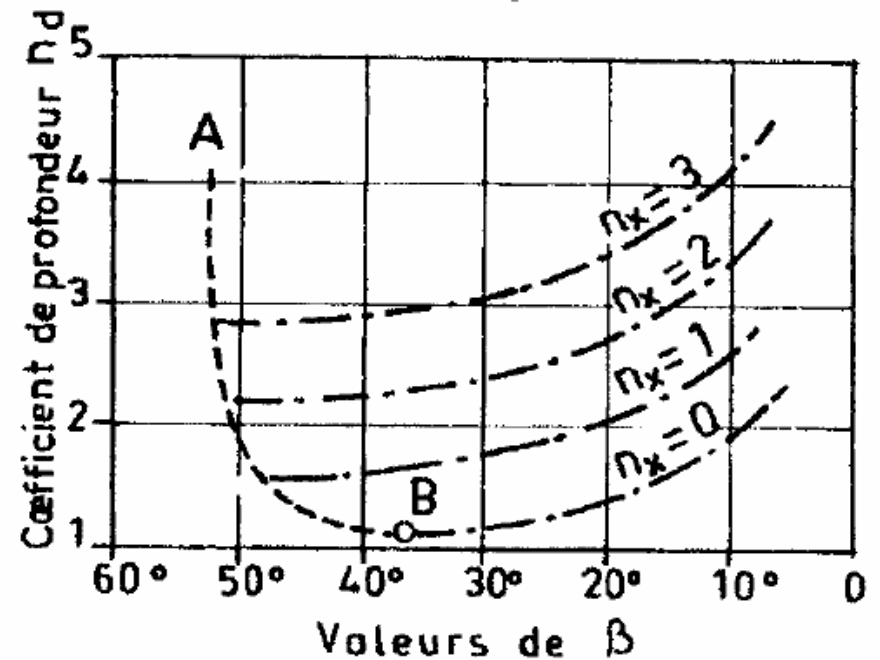
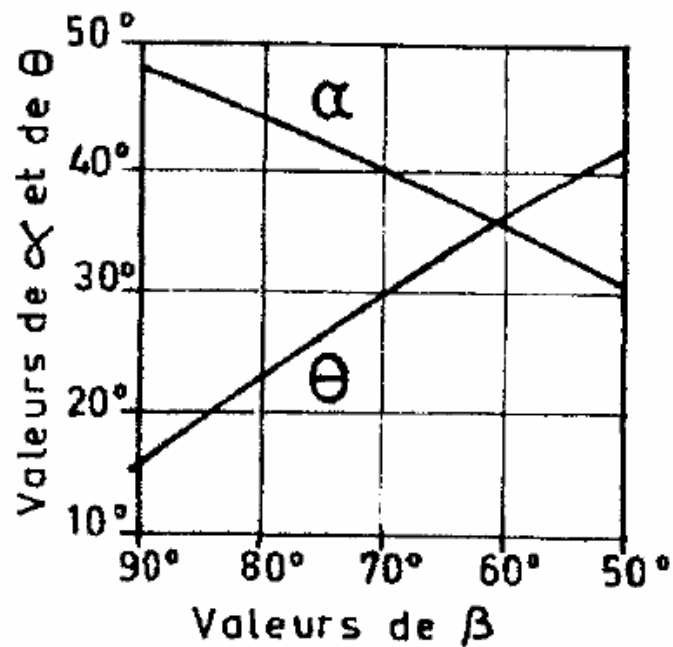
$$F_s = f\left(\frac{\gamma H}{c}\right)$$

On note $N_s = \frac{\gamma H}{c}$ coefficient de stabilité

L'abaque suivant permet de déterminer la valeur de N_s correspondant à $F_s = 1$, connaissant n_d et β .

- L'abaque permet de préciser le type de glissement susceptible de se produire, selon les valeurs de n_d et β
- Si le cercle critique est un cercle de pied , son centre peut être localisé à l'aide de α et θ en fonction de β
- Si le cercle critique est un cercle profond , son centre est situé à mi-hauteur du talus. Le cercle est déterminé à l'aide de n_x qui est donné en fonction de n_d et β .





Ces abaques permettent de déterminer :

- ✓ Soit la hauteur critique H_c correspondant à $F_s = 1$ et pour la cohésion réelle du sol.
- ✓ Soit de calculer la cohésion minimale c_{min} nécessaire pour que le talus de hauteur H soit stable toujours avec $F_s = 1$

Le coefficient de sécurité globale est déterminé par l'une des deux formules :

$$F_s = \frac{H_c}{H}$$

$$F_s = \frac{c}{c_{min}}$$

b) Sols cohérents à frottement interne

Si $\varphi > 3^\circ$, on démontre que le cercle critique est dans ce cas toujours un cercle de pied. Le coefficient de sécurité F dépend toujours du nombre de stabilité de TAYLOR, de β , mais également de φ . L'abaque suivant donne la valeur de N_s en fonction de β , et de φ pour $F_s = 1$.

